

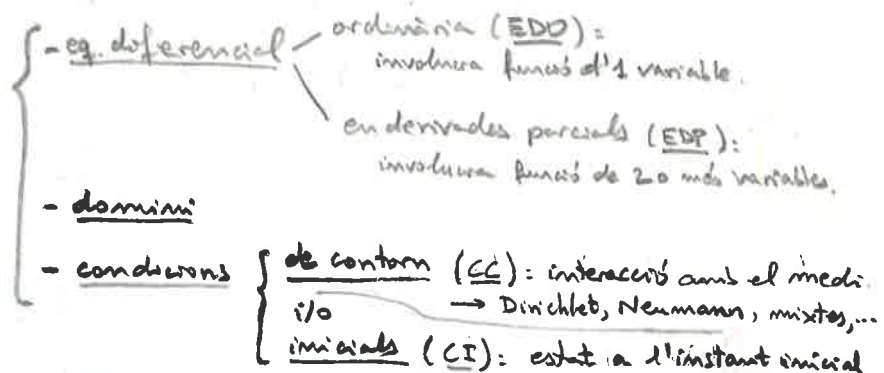
INTRODUCCIÓ AL MÈTODE DELS ELEMENTS FINITS.

Modelització i equacions diferencials.

- Quan estudiem un fenomen o procés, sovint ve descrit per una funció d'una o diverses variables. A partir de les fórmes, podem obtenir una modelització matemàtica del fenomen. Habitualment, la funció ha de ser solució d'una equació diferencial, i haurà de complir unes condicions addicionals (de contorn i/o iniciales).



- Un "problema" constarà en



Podem tenir:

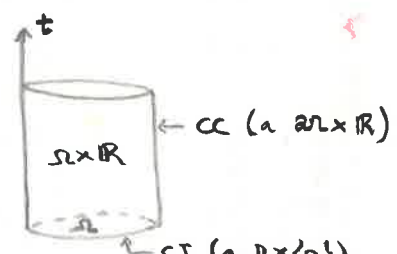
- problema estacionari (no depèn del temps)

domini: $\Omega \subset \mathbb{R}^n$ (variables d'espai)



- problema d'evolució (depèn del temps)

domini: $\Omega \times \mathbb{R} \subset \mathbb{R}^{n+1}$ (variables d'espai i de temps)

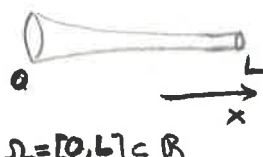


Exemples de modelització

- calor 1D o 2D.
- elasticitat 1D.

* Transferència de calor en una barra.

Considerem una barra metàl·lica amb la superficie lateral aïllada (no es perd calor per convecció ni radiació)



→ la transferència de calor té lloc per conducció, al llarg de la direcció de x .

Si la barra és prou estreta, podem suposar que cada secció $x = \text{const.}$ té la mateixa temperatura en tots els seus punts.

$T(x,t)$ temperatura de la barra en el punt x i a l'instant t

[°C]

$q(x,t)$ densitat de flux de calor: energia calorífica per unitat de temps, que travessa una unitat de superfície transversal $x = \text{const.}$
($q > 0$ si travessa en el sentit de x creixent)

[W/m²]

(W=J/s)

$A(x)$ àrea de la secció transversal [m²].

$f(x,t)$ font de calor: energia calorífica per unitat de temps i de volum,
que es produeix a l'interior ($f_{\text{ex.}}$ en un cable que condueix electricitat)

dades

$\rho(x)$ densitat de massa [kg/m³]

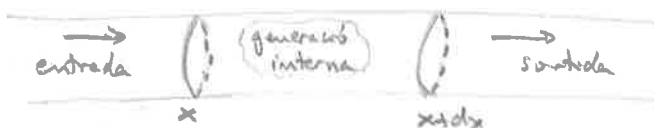
$c(x)$ calor específic. [J/kg·°C]

$k(x)$ conductivitat tèrmica [W/m·°C]

} depenen del material

Deduirrem una eq. diferencial per a $T(x,t)$.

Fem balance d'energia en un element de longitud dx , durant un temps dt .



L'increment d'energia és

$$\underbrace{q(x,t) A dx dt}_{\text{entrada}} - \underbrace{q(x+dx,t) A dx dt}_{\text{sortida}} + \underbrace{f(x,t) A dx dt}_{\text{gen. interna}} = \underbrace{c(x) \rho(x) A dx}_{\text{massa}} \underbrace{(T(x,t+dt) - T(x,t))}_{\text{increment de temperatura}}$$

Dividint per $dx \cdot dt$, i fent $dx \rightarrow 0$, $dt \rightarrow 0$, obtenim:

$$-\frac{\partial}{\partial x} (qA) + fA = c\rho A \frac{\partial T}{\partial t}$$

$$c\rho A \frac{\partial T}{\partial t} + \frac{\partial}{\partial x} (qA) = fA$$

Apliquem la Lei de Fourier: $q(x,t) = -k(x) \frac{\partial T}{\partial x}$ (la calor flueix de calent a fred)

Obtenim:

$$c\rho A \frac{\partial T}{\partial t} - \frac{\partial}{\partial x} (kA \frac{\partial T}{\partial x}) = fA \quad (*)$$

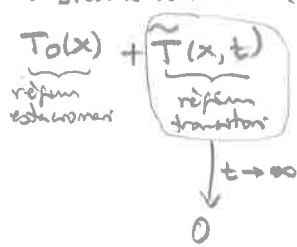
eq. de la calor 1D: és una EDP per a $T(x,t)$, que descriu l'evolució de la distribució de temperatures sobre la barra.

Sovint, només s'estudien solutions estacionàries de l'equació:

Si $T(x)$ és una solució que no depèn de t , i suposant $f = f(x)$,

$$-\frac{d}{dx} (kA \frac{dT}{dx}) = fA \quad \text{EDO de 2n ordre}$$

De fet, quan imosem CC constants a l'EDP (*), es pot veure que la solució és de la forma $T(x,t) = \underbrace{T_0(x)}_{\text{règim estacionari}} + \underbrace{\tilde{T}(x,t)}_{\text{règim transitori}}$



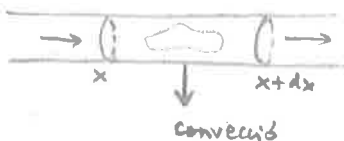
després d'un temps prou gran, es pot suposar que la solució és la del règim estacionari (o estat d'equilibri).

Suposem ara que la barcelleta perd calor per convecció a través de la superfície lateral (si el medi que l'envolta és un fluid, és el tipus principal d'intercanvi de calor; p.ex. aletes de refrigeració)

Per la llei de Newton de refredament per convecció, es suposa que el flux de calor cap al medi és proporcional a la diferència de temperatura amb el medi (arrengelat) i que

$T_{\text{ao}}(x, t)$ temperatura del medi que envolta la barra [°C] altres hipòtesis
 $\beta(x)$ coeficient de convecció [W/m²·°C]
 $p(x)$ perímetre de la secció transversal [m]

Al balanç d'energia, ho hem d'afegeir la pèrdua per convecció:



$$-\beta(x) \cdot (T(x,t) - T_{\infty}(x,t)) \underbrace{p(x) dx dt}_{\text{dens. flux de converg\acute{e}e}} \underbrace{\text{\'{a}rea sup. lateral}}_{\text{dens. flux de converg\acute{e}e}}$$

Obtenir l'EDP

$$c_p A \frac{\partial T}{\partial t} - \frac{\partial}{\partial x} \left(k A \frac{\partial T}{\partial x} \right) + \beta P (T - T_{\infty}) = f A \quad \text{amb.) CC}$$

En el cas d'una memòria termin d'EDD

$$-\frac{d}{dx} \left(k A \frac{dT}{dx} \right) + \beta P(T - T_{\infty}) = f A \quad \text{aimb. cc}$$

Exemples (Bischoff & Neumann, ...):

$$T(0) = \bar{T}_0, T(L) = \bar{T}_L \text{ temp. als extrema}$$

* Transferencia de calor en una plancha



Si el gruix de la planxa es prou petit, podem suposar que les temperatures només depen de (x, y) (i no de z)

$T(x,y,t)$ temperatura de la planxa en el punt (x,y) i a l'instant t .

[°C]

$q_x(x, y, t)$ densitat de flux de calor en la direcció de x : energia calorífica per unitat de temps, que travessa una unitat de superfície transversal a la direcció x .

[W/m²]

$q_y(x, y, z)$ densitat de flux de calor en la direcció de y .

$H(x, z)$ gruix de la planxa. [m]

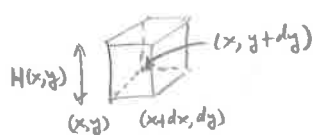
$k_x(x,y)$, conductivitat tèrmica en la direcció x

$\{ [W/m \cdot ^\circ C] \}$

Si el material es isotrópico, llevas considerar en: $k_x(x,y) = k_y(x,y) = k(x,y)$.

$\Phi(x, y, t)$, $\rho(x, y)$, $c(x, y)$, $T_{\infty}(x, y, t)$, $\beta(x, y)$ com abans.

Risque d'énergie en un élément $dxdy$, durant un temps dt :



$$\begin{aligned}
 & q_x(x, y, t) H(x, y) dy dt - q_x(x+dx, y, t) H(x+dx, y) dy dt + \\
 & + q_y(x, y, t) H(x, y) dx dt - q_y(x, y+dy, t) H(x, y+dy) dx dt + \\
 & + \frac{\partial}{\partial t}(x, y, t) H(x, y) dx dy dt - \beta(x, y) (T(x, y, t) - T_{\text{ref}}(x, y, t)) dx dy dt = \\
 & = c(x, y) p(x, y) H(x, y) dx dy \cdot (T(x, y, t+dt) - T(x, y, t)).
 \end{aligned}$$

Dividint per $\rho A dy dt$, i fent $dx \rightarrow 0$, $dy \rightarrow 0$, $dt \rightarrow 0$, obtenim:

$$-\frac{\partial}{\partial x}(q_x H) - \frac{\partial}{\partial y}(q_y H) + \dot{f}H - \beta(T - T_{\infty}) = c\rho H \frac{\partial T}{\partial t}$$

$$c\rho H \frac{\partial T}{\partial t} + \frac{\partial}{\partial x}(q_x H) + \frac{\partial}{\partial y}(q_y H) + \beta(T - T_{\infty}) = \dot{f}H$$

Per la llei de Fourier, $q_x = -k_x \frac{\partial T}{\partial x}$, $q_y = -k_y \frac{\partial T}{\partial y}$

$$\rightarrow \text{EDP: } c\rho H \frac{\partial T}{\partial t} - \frac{\partial}{\partial x}(k_x H \frac{\partial T}{\partial x}) - \frac{\partial}{\partial y}(k_y H \frac{\partial T}{\partial y}) + \beta(T - T_{\infty}) = \dot{f}H$$

eq. de la calor 2D, per a $T(x,y,t)$.

En el cas estacionari, si $\dot{f} = f(x, y)$,

$$-\frac{\partial}{\partial x}(k_x H \frac{\partial T}{\partial x}) - \frac{\partial}{\partial y}(k_y H \frac{\partial T}{\partial y}) + \beta(T - T_{\infty}) = fH$$

EDP per a $T(x, y)$.

Si el gruix $H(x, y)$ és constant, podem escriure

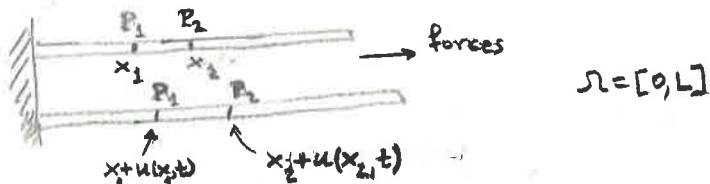
$$-\frac{\partial}{\partial x}(k_x \frac{\partial T}{\partial x}) - \frac{\partial}{\partial y}(k_y \frac{\partial T}{\partial y}) + \frac{\beta}{H}(T - T_{\infty}) = f$$

i en el cas hidràulic: $-\operatorname{div}(k \nabla T) + \frac{\beta}{H}(T - T_{\infty}) = f$.

Les CC s'imposen a tota la frontera del.

* Deformacions longitudinals d'una barra clàstica.

Posició inicial



$$\Omega = [0, L]$$

Posició deformada

$u(x, t)$ desplaçament longitudinal del punt x del material respecte la posició inicial, a l'instant t . [m]

$\sigma(x, t)$ tensió: considerant que la secció $x = \text{const.}$ dividirem la barra en 2 parts, es la tracció que una part fa sobre l'altra, per unitat de superfície [N/m²]

$A(x)$ àrea de la secció transversal [mm²]

dades $F(x, t)$ forces que actuen sobre un punt x de la barra (p. ex. el pes en el cas d'una barra vertical)

$$[N]$$

$\rho(x)$ densitat de massa [kg/m³]

$$[N/m^3]$$

$E(x)$ mòdul de Young o d'elasticitat: relació entre la tensió i l'allargament per unitat de longitud soportat per la barra

$$f(x, t) = \frac{\partial F}{\partial x} \text{ forces per unitat de longitud} \quad [N/m]$$

Fem balanç de les forces que actuen sobre un element de longitud dx ,



$$\sigma(x+dx, t) A(x+dx) - \sigma(x, t) A(x) + F(x+dx, t) - F(x, t) = \underbrace{\rho(x) A(x) dx}_{\text{massa}} \cdot \underbrace{\frac{\partial^2 u}{\partial t^2}}_{\text{acceleració}}$$

(2^a llei de Newton)

Dividint per dx , i fent $dx \rightarrow 0$, obtenim:

$$\frac{\partial}{\partial x} (\sigma A) + f = \rho A \cdot \frac{\partial^2 u}{\partial t^2}$$

$$\rho A \frac{\partial^2 u}{\partial t^2} - \frac{\partial}{\partial x} (\sigma A) = f$$

Per la llei de Hooke,

$$\sigma(x, t) = E(x) \cdot \frac{\partial u}{\partial x}$$

σ : stress
 $\frac{\partial u}{\partial x}$: strain

Obs: $\frac{\partial u}{\partial x}$ és l'allargament per unitat de longitud sofert per la barra.



long. inicial: dx



long. deformada: $dx + u(x+dx, t) - u(x, t)$

↓
allargament per unitat de longitud:

$$\frac{u(x+dx, t) - u(x, t)}{dx} \xrightarrow{dx \rightarrow 0} \frac{\partial u}{\partial x} \quad [\text{sense unitats}]$$

(tensió expansiva si $\frac{\partial u}{\partial x} > 0$, contracció si $\frac{\partial u}{\partial x} < 0$)

Obtenim l'EDP

$$\rho A \frac{\partial^2 u}{\partial t^2} - \frac{\partial}{\partial x} \left(EA \frac{\partial u}{\partial x} \right) = f$$

+ CC

+ CI: $u(x, 0) = u_0(x)$, $\frac{\partial u}{\partial t}(x, 0) = v_0(x)$

desplaçament i impuls inicials

Si busquem solucions estacionàries $u(x)$, i imosem $f = f(x)$,

tornem l'EDO

$$-\frac{d}{dx} \left(EA \frac{\partial u}{\partial x} \right) = f \quad \text{amb CC}$$

Exemple: $u(0) = 0$, $EA \frac{\partial u}{\partial x} \Big|_{x=L} = \bar{Q}_B$

extrem esquerre fixat, força \bar{Q}_B a l'extrem dret

Equacions model i condicions de contorn.

- * Per al cas d'un problema estacionari 1D, considerarem una equació model (o en forma antoadjunta), del tipus

$$\boxed{-\frac{d}{dx} \left(a_1(x) \frac{du}{dx} \right) + a_0(x) u = f(x)}, \quad \begin{cases} a_1(x), a_0(x), f(x) \text{ funcions donades}, \\ x \in (0, L) \end{cases}$$

amb unes CC que imposarem en $x=0$ i $x=L$.

Les equacions dels problemes estacionaris 1D de calor i elasticitat, són d'aquesta forma.

- * L'eq. model que hem considerat és una EDO lineal de 2^{on} ordre. De fet, tota EDO lineal de 2^{on} ordre

$$a(x) \frac{d^2u}{dx^2} + b(x) \frac{du}{dx} + c(x) u = g(x), \quad \text{amb } a(x) \neq 0 \quad \forall x$$

$(\rightarrow \text{"eq. elíptica": } a(x) > 0 \quad \forall x, \text{ o bé } a(x) < 0 \quad \forall x)$

es pot reescriure com l'eq. model:

Multiplicant per $-\frac{1}{a} e^{\int \frac{b}{a} dx}$, obtenim

$$\underbrace{-e^{\int \frac{b}{a} dx} \frac{d^2u}{dx^2} - \frac{b}{a} e^{\int \frac{b}{a} dx} \frac{du}{dx} - \frac{c}{a} e^{\int \frac{b}{a} dx} u}_{\text{"}} = -\frac{g}{a} e^{\int \frac{b}{a} dx}$$

$\frac{d}{dx} \left(e^{\int \frac{b}{a} dx} \frac{du}{dx} \right)$

eq. model amb
 $a_1 = e^{\int \frac{b}{a} dx}, \quad a_0 = -\frac{c}{a} e^{\int \frac{b}{a} dx}, \quad f = -\frac{g}{a} e^{\int \frac{b}{a} dx}$

- * Def:
 - variable primària: $u(x)$
 - variable secundària: $a_1(x) \frac{du}{dx}$

Usualment tenen significat físic, p. ex.:

* eq. calor. $-\frac{d}{dx} (kA \frac{dT}{dx}) + \beta \rho (T - T_{\infty}) = f A$

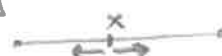
$T(x)$ temperatura [$^{\circ}\text{C}$]

$-kA \frac{dT}{dx} = q_A$ flux (total) cap a la dreta [W].

* eq. elasticitat. $-\frac{d}{dx} (EA \frac{du}{dx}) = F$

$u(x)$ desplaçament [m]

$EA \frac{du}{dx} = \sigma A$ força de tracció [N]



- Imposerem les condicions de contorn en $x=0$ i $x=L$.

En cada extrem, podem considerar:

- CC essencials (Dirichlet): $u(0) = \bar{U}_0$, $u(L) = \bar{U}_L$
- CC naturals (Neumann):

$$-\alpha_1(x) \frac{du}{dx} \Big|_{x=0} = \bar{Q}_0, \quad \alpha_1(x) \frac{du}{dx} \Big|_{x=L} = \bar{Q}_L$$

(Nota: El signe de per considerar la derivada respecte la "normal exterior" al domini, $(\alpha_1 \frac{du}{dx}) \cdot \vec{n}$)

- combinació de CC essencials i naturals (Robin).

Significant físic de les CC naturals:

* eq. calor:

$$-kA \frac{dt}{dx} \Big|_{x=0} = \bar{Q}_0, \quad kA \frac{dt}{dx} \Big|_{x=L} = \bar{Q}_L$$

(flux cap a la dreta) (flux cap a l'esquerra) \rightarrow flux d'entrada en ambdós casos.

* eq. elasticitat:

$$-EA \frac{du}{dx} \Big|_{x=0} = \bar{Q}_0, \quad EA \frac{du}{dx} \Big|_{x=L} = \bar{Q}_L$$

\rightarrow Fòrça en el tentit de la coordenada x.

Mètodes numèrics per a EDOs i EDPs

A la pràctica, les EDOs i les EDPs no es poden resoldre explícitament (només en uns pocs casos, com les eq. lineals a coeficients constants).

LLavors, cal fer servir mètodes numèrics per obtenir la solució de manera aproximada.

Per resoldre un "problema" (eq. diferencial + condicions) per a $u(x), x \in \Omega$,

en general farem una discretzació del domini: $x_1, \dots, x_N \in \Omega$ nodes,

i plantejarem un sistema lineal $N \times N$, $(K) \begin{pmatrix} u_1 \\ \vdots \\ u_N \end{pmatrix} = (F)$,

que ens donarà la solució aproximada en cada node: $U_i \approx u(x_i), i=1, \dots, N$.

(si volem la solució en un altre punt, podem usar interpolació a partir dels nodes).

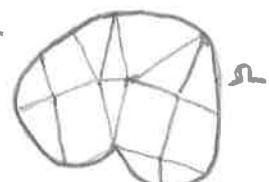
Per obtenir una bona aproximació, convé N gran i cal utilitzar ordinador per fer els càlculs.

En el cas de problemes d'evolució, primer fem un "tractament espacial" que ens permet veure les aproximacions $U_i(t) \approx u(x_i, t)$ com a solució d'un sistema de N EDOs (amb cond. iniciales), i després fem un "tractament temporal" consistent a aplicar algun mètode numèric per a EDOs (p.ex. el mètode d' Euler).

Entre els mètodes numèrics, tenim:

- diferències finites: s'aproximen les derivades a l'EDO o EDP per grans de diferències.
- elements finits (FEM): es divideix el domini en subdominis finits o elements (1D \rightarrow intervals; 2D \rightarrow triangles, rectangles, ...), i a cada un hi apliquem un mètode varacional (aproximem la solució per una combinació lineal de funcions d'aproximació adequades), demandant també l'acoblament o encadellat de la solució de cada element.

Un avantatge del mètode dels elements finits és que es pot aplicar fàcilment a dominis complicats.



* Mètode de diferències finites

Exemple

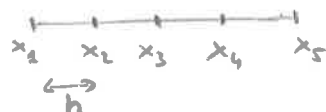
Volem resoldre $\begin{cases} -u'' + 4u = x \\ u(0) = 0, u(1) = 2 \end{cases} \rightarrow u(x)?$

(problema 1D amb cond de Dirichlet).

$$\Omega = [0, 1]$$

Considerem nodes equiespaciats $x_1 = 0, x_2 = 0.25, x_3 = 0.5, x_4 = 0.75, x_5 = 1$,

increment: $h = 0.25$



Volem trobar aproximacions $U_i \approx u(x_i)$.

Aproximarem u'' per un quotient de diferències: $u''(x) \approx \frac{u(x-h) - 2u(x) + u(x+h)}{h^2}$ si h petit.

Es dedueix de la fórmula de Taylor:

$$u(x+h) = u(x) + u'(x)h + \frac{u''(x)}{2!}h^2 + \frac{u'''(x)}{3!}h^3 + \frac{u^{(4)}(x_0)}{4!}h^4$$

$$u(x-h) = u(x) - u'(x)h + \frac{u''(x)}{2!}h^2 - \frac{u'''(x)}{3!}h^3 + \frac{u^{(4)}(x_0)}{4!}h^4$$

$$\Rightarrow \frac{u(x-h) - 2u(x) + u(x+h)}{h^2} = u''(x) + \frac{u^{(4)}(x_0) + u^{(4)}(x_1)}{4!}h^2$$

En cada node, s'ha de complir: $-u''(x_i) + 4u(x_i) = x_i$, $i = 2, 3, 4$ (nodes interns)

LLavors, demanem que les aproximacions U_i satisfacen:

$$-\frac{U_{i-1} - 2U_i + U_{i+1}}{h^2} + 4U_i = x_i, \quad i = 2, 3, 4, \quad \rightarrow \text{istema lineal } 3 \times 3:$$

i imponem les CC, $U_1 = 0, U_5 = 2$

$$\begin{pmatrix} 2+4h^2 & -1 & 0 \\ -1 & 2+4h^2 & -1 \\ 0 & -1 & 2+4h^2 \end{pmatrix} \begin{pmatrix} U_2 \\ U_3 \\ U_4 \end{pmatrix} = h^2 \begin{pmatrix} x_2 \\ x_3 \\ x_4 \end{pmatrix} + \begin{pmatrix} 0 \\ 0 \\ 2 \end{pmatrix}$$

Resolent, obtenim les aproximacions

$$\begin{cases} u(x_2) \approx U_2 = 0.316468 \\ u(x_3) \approx U_3 = 0.696429 \\ u(x_4) \approx U_4 = 1.21925 \end{cases}$$

De fet, podem comparar amb la solució exacta:

$$u(x) = \frac{1}{4} \left(x + \frac{7 \sinh 2x}{\sinh 2} \right) \rightarrow \begin{cases} u(x_2) = 0.313934 \\ u(x_3) = 0.692047 \\ u(x_4) = 1.21490 \end{cases} \quad (\approx 2 \text{ xifres correctes})$$

Si prenem $n+1$ nodes (n subintervals), obtindrem un sistema lineal $(n-1) \times (n-1)$, amb matrزا tridiagonal simètrica.

(El mètode també es pot adaptar a problemes 2D).

* Mètodes variacionals

Exemple $\begin{cases} -u'' + 4u = x \\ u(0) = 0, \quad u(1) = 2 \end{cases}$

Escrivim una funció $u(x)$ que compleixi les CC, p.e. $u_0(x) = 2x$.

Entonces la funció $v(x) = u(x) - u_0(x)$ compleix CC homogènies: $v(0) = v(1) = 0$.

Donades unes funcions d'aproximació $\varphi_1(x), \dots, \varphi_n(x)$ que compleixen les CC homogènies, $\varphi_i(0) = \varphi_i(1) = 0$, $i = 1, \dots, n$, busquem una aproximació $U(x) \approx V(x) = u_0(x) + c_1 \varphi_1(x) + \dots + c_n \varphi_n(x)$, amb c_1, \dots, c_n coeficients a determinar per tal d'obtenir la "millor solució possible" entre les funcions d'aquest tipus.

P.ex., amb $n=2$ podem escollir $\varphi_1(x) = x(1-x)$, $\varphi_2(x) = x^2(1-x)$.

$$\rightarrow V(x) = 2x + c_1 \varphi_1(x) + c_2 \varphi_2(x) = 2x + x(1-x)(c_1 + c_2 x) \quad (*)$$

Substituint a l'EDO, considerem el residu

$$\begin{aligned} R(x) &= -V''(x) + 4V(x) - x = 7x + c_1(-\varphi_1'' + 4\varphi_1) + c_2(-\varphi_2'' + 4\varphi_2) = \\ &= 7x + c_1(2+4x-4x^2) + c_2(-2+6x+4x^2-4x^3) \end{aligned}$$

Si imosem $R(x) \equiv 0 \rightarrow [2c_1 - 2c_2 = 0, 7 + 4c_1 + 6c_2 = 0, -4c_1 + 4c_2 = 0, -4c_2 = 0]$.

Sist. sobre determinat \Rightarrow en general no sol exacta del tipus $(*)$.

Per intentar que el residu $R(x)$ sigui "petit", usarem la propietat:

[Donada una funció contínua $R(x)$, $x \in [a, b]$,

$$R(x) \equiv 0 \quad \forall x \in [a, b] \iff \int_a^b R(x) w(x) dx = 0 \text{ per a tota funció } w(x) \text{ contínua}$$

residu ponderat

funció pes

Com que no podem imposar $\int_0^1 R(x) w(x) dx = 0$ per a tota funció $w(x)$,

escollim n funcions pes $w_1(x), \dots, w_n(x)$ i imosem $\int_0^1 R(x) w_i(x) dx = 0$, $i = 1, \dots, n$

\rightarrow sistema lineal $n \times n$ per als c_1, \dots, c_n .

Cada mètode variacional correspon a una tria de funcions pes $w_1(x), \dots, w_n(x)$.

El mètode de Galerkin correspon a triar $w_i(x) = \varphi_i(x)$, $i = 1, \dots, n$.

En l'ex. considerat, $w_1(x) = \varphi_1(x) = x(1-x)$, $w_2(x) = \varphi_2(x) = x^2(1-x)$

$$\int_0^1 R(x) \varphi_1(x) dx = \int_0^1 7x \varphi_1 dx + c_1 \int_0^1 (-\varphi_1'' + 4\varphi_1) \varphi_1 dx + c_2 \int_0^1 (-\varphi_2'' + 4\varphi_2) \varphi_1 dx = 0,$$

$$\int_0^1 R(x) \varphi_2(x) dx = \int_0^1 7x \varphi_2 dx + c_1 \int_0^1 (-\varphi_1'' + 4\varphi_1) \varphi_2 dx + c_2 \int_0^1 (-\varphi_2'' + 4\varphi_2) \varphi_2 dx = 0.$$

Sistema lineal:

$$\underbrace{\begin{pmatrix} a_{11} & a_{12} \\ a_{21} & a_{22} \end{pmatrix}}_A \begin{pmatrix} c_1 \\ c_2 \end{pmatrix} = \begin{pmatrix} b_1 \\ b_2 \end{pmatrix}, \quad a_{ij} = \int_0^1 (-\varphi_j'' + 4\varphi_j) \varphi_i dx$$

$$b_i = - \int_0^1 7x \varphi_i dx$$

Calcularem

$$a_{11} = \int_0^1 (-\varphi_1'' + 4\varphi_1) \varphi_1 dx = \int_0^1 (2+4x-4x^2) \times (1-x) dx = \frac{2}{6} + \frac{4}{12} - \frac{4}{20} = \frac{7}{15}$$

$$a_{12} = \int_0^1 (-\varphi_2'' + 4\varphi_2) \varphi_1 dx = \int_0^1 (-2+6x+4x^2-4x^3) \times (1-x) dx = -\frac{2}{6} + \frac{6}{12} + \frac{4}{20} - \frac{4}{30} = \frac{7}{30}$$

$$a_{21} = \int_0^1 (-\varphi_1'' + 4\varphi_1) \varphi_2 dx = \int_0^1 (2+4x-4x^2) \times 2(1-x) dx = \frac{2}{12} + \frac{4}{20} - \frac{4}{30} = \frac{7}{30}$$

$$a_{22} = \int_0^1 (-\varphi_2'' + 4\varphi_2) \varphi_2 dx = \int_0^1 (-2+6x+4x^2-4x^3) \times 2(1-x) dx = -\frac{2}{12} + \frac{6}{20} + \frac{4}{30} - \frac{4}{42} = \frac{6}{35}$$

$$b_1 = - \int_0^1 7x \varphi_1 dx = -7 \int_0^1 x^2(1-x) dx = -\frac{7}{12}$$

$$b_2 = - \int_0^1 7x \varphi_2 dx = -7 \int_0^1 x^3(1-x) dx = -\frac{7}{20}$$

hem vist:

$$\int_0^1 x^k(1-x) dx = \frac{1}{(k+1)(k+2)}$$

Sols:

$$\begin{aligned} c_1 &= -0.717391 = -\frac{33}{46} \\ c_2 &= -1.06522 = -\frac{49}{46} \end{aligned}$$

\rightarrow Aproximació:
 $u(x) \approx U(x) = 2x - x(1-x)(0.717391 + 1.06522x)$

Avaluem en alguns punts:

$$\begin{aligned} U(0.25) &= 0.315557 \\ U(0.5) &= 0.687500 \\ U(0.75) &= 1.21569 \end{aligned}$$

Obs.: La matríg A és simètrica, ja que

$$a_{ij} = \int_0^1 (-\varphi_j'' + 4\varphi_j) \varphi_i dx = - \int_0^1 \varphi_j'' \varphi_i dx + 4 \int_0^1 \varphi_j \varphi_i' dx = \int_0^1 \varphi_i' \varphi_j' dx + 4 \int_0^1 \varphi_i \varphi_j dx$$

$$\Rightarrow a_{ij} = a_{ji}$$

Això ens dóna una variant del mètode de Galerkin, amb la qual tenim obrestant una matríg simètrica.

integrant per parts

$$\int_0^1 \varphi_j'' \varphi_i dx = [\varphi_j' \varphi_i]_0^1 - \int_0^1 \varphi_j' \varphi_i' dx$$

0 $\varphi_i(0) = \varphi_i(1) = 0$

1) Considerem el problema

$$\begin{cases} u'' - u = x, & x \in (0,1) \\ u(0) = 0 \\ u(1) = 2 \end{cases}$$

Usarem el mètode de Galerkin per a trobar una aproximació a la solució d'aquest problema que sigui de la forma

$$U(x) = 2x + c_1 x(1-x) + c_2 x^2(1-x)$$

Notem que $U_0(x) = 2x$ satisfa els CC: $U_0(0) = 0, U_0(1) = 2$.

Llavors, estem escrivint $U(x) = 2x + c_1 \varphi_1(x) + c_2 \varphi_2(x)$, amb funcions d'aproximació

$$\varphi_1(x) = x(1-x), \quad \varphi_2(x) = x^2(1-x), \quad \text{que satisfau CC homògenes: } \varphi_i(0) = \varphi_i(1) = 0, \quad i=1,2.$$

Rebídem:

$$\begin{aligned} R(x) &= U''(x) - U(x) - x = (c_1 \varphi_1'' + c_2 \varphi_2'') - (2x + c_1 \varphi_1 + c_2 \varphi_2) - x = \\ &= -3x + c_1(\varphi_1'' - \varphi_1) + c_2(\varphi_2'' - \varphi_2) \end{aligned}$$

Segons el mètode de Galerkin, cal determinar c_1, c_2 imposant el sistema:

$$\begin{cases} 0 = \int_0^1 R(x) \varphi_1(x) dx = -3 \int_0^1 x \varphi_1 dx + c_1 \int_0^1 (\varphi_1'' - \varphi_1) \varphi_1 dx + c_2 \int_0^1 (\varphi_2'' - \varphi_2) \varphi_1 dx \\ 0 = \int_0^1 R(x) \varphi_2(x) dx = -3 \int_0^1 x \varphi_2 dx + c_1 \int_0^1 (\varphi_1'' - \varphi_1) \varphi_2 dx + c_2 \int_0^1 (\varphi_2'' - \varphi_2) \varphi_2 dx \end{cases}$$

$$\begin{pmatrix} a_{11} & a_{12} \\ a_{21} & a_{22} \end{pmatrix} \begin{pmatrix} c_1 \\ c_2 \end{pmatrix} = \begin{pmatrix} b_1 \\ b_2 \end{pmatrix}, \quad \text{estent } a_{ij} = \int_0^1 (\varphi_i'' - \varphi_i) \varphi_j dx, \quad b_i = 3 \int_0^1 x \varphi_i dx$$

Calcularem les integrals, amb $\varphi_1 = x(1-x)$, $\varphi_1'' - \varphi_1 = -2x + x^2$
 $\varphi_2 = x^2(1-x)$, $\varphi_2'' - \varphi_2 = 2 - 6x - x^2 + x^3$.

i obtenim: $a_{11} = -\frac{11}{30}$, $a_{12} = a_{21} = -\frac{11}{60}$, $a_{22} = -\frac{1}{4}$.] ← podem usar: $\int_0^1 x^k(1-x) dx = \frac{1}{(k+1)(k+2)}$
 $b_1 = \frac{1}{4}$, $b_2 = \frac{3}{20}$.

Resolent el sistema, $c_1 = -\frac{21}{473} = -0.437632$, $c_2 = -\frac{21}{43} = -0.488372$

Aproximació: $U(x) = 2x - 0.437632 \cdot x(1-x) - 0.488372 \cdot x^2(1-x)$

Podrem comparar amb la solució exacta: $u(x) = -x + \frac{3 \sinh x}{\sinh 1}$

Avaluant en alguns punts,

x	u(x)	U(x)
0.25	0.394857	0.395052
0.5	0.830228	0.829545
0.75	1.349147	1.34927

② Idem, de la forma $\bar{U}(x) = 2x + d_1 x(1-x) + d_2 x(1-x)^2$.

En aquest cas, usarem les funcions d'aproximació $\gamma_1(x) = x(1-x)$, $\gamma_2(x) = x(1-x)^2$, que satisfau les CC homòfenes: $\gamma_i(0) = \gamma_i(1) = 0$, $i=1,2$.

$$\text{Residu: } R(x) = \bar{U}''(x) - \bar{U}(x) - x = -3x + d_1(\gamma_2'' - \gamma_1) + d_2(\gamma_2'' - \gamma_2).$$

$$\text{Imposant } \int_0^1 R(x) \gamma_i(x) dx = 0, \quad i=1,2, \text{ hem de resoldre el sistema } \begin{pmatrix} a_{11} & a_{12} \\ a_{21} & a_{22} \end{pmatrix} \begin{pmatrix} d_1 \\ d_2 \end{pmatrix} = \begin{pmatrix} b_1 \\ b_2 \end{pmatrix},$$

estant $a_{ij} = \int_0^1 (\gamma_j'' - \gamma_i) \gamma_i dx$, $b_i = 3 \int_0^1 x \gamma_i dx$,

$$\begin{cases} \gamma_2'' - \gamma_1 = -2 - x + x^2 \\ \gamma_2'' - \gamma_2 = -4 + 5x + 2x^2 - x^3 \end{cases}$$

$$\text{Tenim: } a_{11} = -\frac{11}{30}, \quad a_{12} = a_{21} = -\frac{11}{60}, \quad a_{22} = -\frac{1}{4}, \quad b_1 = \frac{1}{4}, \quad b_2 = \frac{1}{10}$$

Resolent el sistema,

$$d_1 = -\frac{438}{473} = -0.926004, \quad d_2 = \frac{21}{43} = 0.488372$$

Aproximació: $\bar{U}(x) = 2x - 0.926004x(1-x) + 0.488372x(1-x)^2$,

x	$\bar{U}(x)$
0.25	0.395052
0.5	0.829545
0.75	1.34927

coincideixen amb els valors $U(x)$ del prob. anterior.

Usant:

$$\int_0^1 x^k (1-x) dx = \frac{1}{(k+1)(k+2)}$$

$$\int_0^1 x^k (1-x)^2 dx = \frac{2}{(k+1)(k+2)(k+3)}$$

③ Comparen les funcions $U(x)$ i $\bar{U}(x)$ dels dos problemes anteriors i comenten el resultat.

Les aproximacions coincideixen: $U(x) = \bar{U}(x), \quad \forall x \in [0,1]$.

Això és degut al fet que les funcions d'aproximació (també usades com a funcions pes) en els dos casos generen el mateix espai de polinomis, ja que $\gamma_1 = \varphi_1$, $\gamma_2 = \varphi_1 - \varphi_2$.
Illumis els coeficients estan relacionats: $c_1 \varphi_1 + c_2 \varphi_2 = d_1 \gamma_1 + d_2 \gamma_2 \rightarrow d_1 = c_1 + c_2, d_2 = -c_2$

④ Calculen els coeficients c_1, c_2 del mateix problema, usant com a pesos les funcions 1 i x a les integrals amb pes.

$$U(x) = 2x + c_1 \varphi_1(x) + c_2 \varphi_2(x), \text{ amb funcions d'aproximació } \varphi_1(x) = x(1-x), \varphi_2(x) = x^2(1-x).$$

$$\text{Residu: } R(x) = U''(x) - U(x) - x = -3x + c_1(\varphi_2'' - \varphi_1) + c_2(\varphi_2'' - \varphi_2)$$

$$\text{Amb les funcions pes } w_1(x) = 1, \quad w_2(x) = x, \text{ imponem: } \int_0^1 R(x) w_1(x) dx = 0, \quad \int_0^1 R(x) w_2(x) dx = 0$$

Això ens dóna el sistema $\begin{pmatrix} a_{11} & a_{12} \\ a_{21} & a_{22} \end{pmatrix} \begin{pmatrix} c_1 \\ c_2 \end{pmatrix} = \begin{pmatrix} b_1 \\ b_2 \end{pmatrix}$, estant

$$\begin{cases} a_{ij} = \int_0^1 (\varphi_j'' - \varphi_i) w_i dx \\ b_i = 3 \int x w_i dx \end{cases}$$

$$\text{Tenim: } a_{11} = -\frac{13}{6}, \quad a_{12} = a_{21} = -\frac{13}{12}, \quad a_{22} = -\frac{21}{20}, \quad b_1 = \frac{3}{2}, \quad b_2 = 1$$

Resolent, $c_1 = -\frac{354}{793} = -0.446406, \quad c_2 = -\frac{30}{61} = -0.491803$

Aproximació: $U(x) = 2x - 0.446406x(1-x) - 0.491803x^2(1-x)$

Avaluant en alguns punts,

x	$U(x)$
0.25	0.393246
0.5	0.826923
0.75	1.34714